После подстановки (22) и ряда преобразований получим:

$$u(t) = \frac{U_{n}(0)}{\frac{r_{np}}{r+R}+1} \left\{ e^{-\frac{t}{\tau}} - \frac{1}{\left(\frac{r}{r_{np}}+1\right)\left(\frac{r}{R}+1\right)} e^{-\alpha t} \right\}$$
(26)

Выражение (26) определяет то искомое напряжение, которое необходимо стартеру для оптимизации пуска ДВС и диктует требования, предъявляемые к накопителю энергии.

Литература

- 1. Айзенцон А.Е., Гармаш Ю.В., Латахина Е.В. Модель работы системы электопуска ДВС. Автомобильная промышленность, № 5, 2004, с.16-18.
- 2. Зевеке Г.В., Ионкин И.А., Нетушил А.В., Страхов С.В. Основы теории цепей. Издание 5-е. М.: Энергоатомиздат, 1989, 528 с.
- 3. Фесенко М.Н., Чижков Ю.П. Емкостные накопители энергии в электрооборудовании транспортных средств. Грузовик, № 8, 1999, с. 11 15.
- 4. Бронштейн И. Н., Семендяев К. А. Справочник по математике. М.: "Наука", 1986, 544 с.
- 5. Квейт С.М., Менделевич Ю.П., Чижков Ю.П. Пусковые качества и системы пуска автотракторных двигателей. М.: Машиностроение, 1990, с.51, 256 с.
- 6. Оберемок В.З., Юрковский И.М. Пуск автомобильных двигателей. М.: Транспорт, 1979, 118 с.

Свободные колебания управляемых колес легкового автомобиля

д.т.н. проф. Глейзер А.И., Емельянов С.Р., к.т.н. доц. Лата В.Н., Ермолин А.В. Тольяттинский государственный университет

Статья посвящена исследованию влияния демпфирования в элементах ходовой части автомобиля и плеча стабилизации управляемых колес на их свободные колебания.

Ключевые слова: свободные колебания управляемых колес автомобиля.

Стабилизация движения автомобиля в значительной степени определяется характером свободных угловых колебаний управляемых колес и позволяет использовать применительно к рассматриваемой задаче понятие устойчивости систем по первому приближению и определение устойчивости, данное Ляпуновым [1].

Расчетная схема показана на рисунке 1.

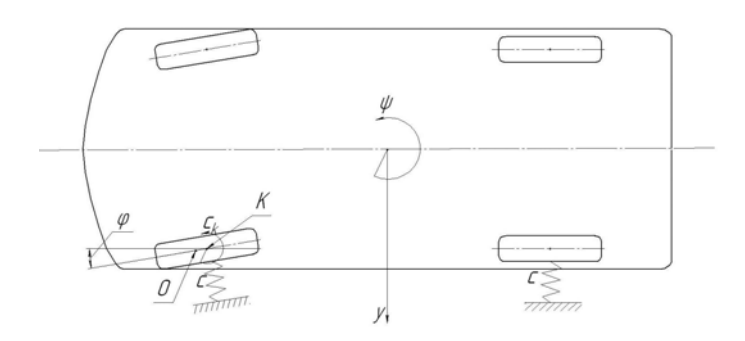


Рисунок 1

На схеме точка О определяет ось поворота колеса, т. К - центральную точку площадки контакта колес с дорогой, т. Р- мгновенный центр скоростей.

Исследование выполняется на базе математической модели, разработанной для анализа вынужденных колебаний управляемых колес автомобиля [2, 3]. Для исследования свободных

колебаний дифференциальные уравнения представлены в виде:

$$\begin{cases} m(\ddot{y} + \ddot{\varphi}h\frac{b}{l}) - m\frac{\omega^{2}r^{2}}{l}\varphi + 4c_{\delta}y + 2\varphi h\frac{l}{(h+l)}c_{\delta} + 2\psi c_{\delta}(a-b) + 4\mu_{\delta}\dot{y} + 2\dot{\varphi}h\frac{l}{(h+l)}\mu_{\delta} + 2\psi\mu_{\delta}(a-b) = 0; \\ +2\psi\mu_{\delta}(a-b) = 0; \\ \theta_{z}\psi + \theta_{z}\frac{h}{l}\ddot{\varphi} + 4c_{k}\psi + 2c_{k}\varphi + 2(y + \psi a + \varphi h\frac{l}{h+l})ac_{\delta} - 2(y - \psi b)bc_{\delta} + 4\mu_{k}\dot{\psi} + 2\mu_{k}\dot{\varphi} + 2(y + \dot{\psi}a + \dot{\varphi}h\frac{l}{h+l})a\mu_{\delta} - 2(y - \dot{\psi}b)b\mu_{\delta} = 0; \\ +2(y + \dot{\psi}a + \dot{\varphi}h\frac{l}{h+l})a\mu_{\delta} - 2(y - \dot{\psi}b)b\mu_{\delta} = 0; \\ \theta_{k}(\ddot{\psi} + \ddot{\varphi}) + c_{k}\varphi + c_{k}\psi - c_{\delta}xh - c_{\delta}\psi ah - c_{\delta}\varphi h^{2}\frac{l}{l+h} + \mu_{k}\dot{\varphi} + \mu_{k}\dot{\psi} - \mu_{\delta}\dot{y}h - \mu_{\delta}\dot{\psi}ah - 2(y - \dot{\psi}b)h^{2} + 2(y - \dot{\psi}b)h^{2$$

Здесь обозначено: φ - угол поворота управляемых колес; ψ - угол поворота самого автомобиля, рассматриваемого, как твердое тело; y - координата, определяющая колебания центра масс в поперечном направлении; m - подрессоренная масса; θ_z и θ_k - массовые моменты инерции автомобиля и колеса (относительно оси поворота); c_{δ} - жесткость шины в боковом направлении; eglineare - угловая жесткость шины; eglineare - коэффициенты сопротивления, . . .

действующие в направлении обобщенных скоростей y, φ ; l - база автомобиля; a и b — расстояние от центра масс до передней и задней осей соответственно; h — плечо стабилизации, ω и r - угловая скорость и радиус качения колес.

Решение выполнялось с учетом начальных условий:

$$t=0, \varphi=1, \varphi=\psi=\psi=y=y=0$$

Соответствующие коэффициенты сопротивления определялись по формулам:

$$\mu_{\delta} = 2 \cdot m \cdot \omega_{0\delta} \cdot n_{omn}^{(1)} \quad \mu_{k} = 2 \cdot \Theta_{k} \cdot \omega_{ok} \cdot n_{omn}^{(2)}$$

где: $\omega_{0\delta}$ и ω_{ok} - парциальные собственные частоты колебаний подрессоренной массы и колеса:

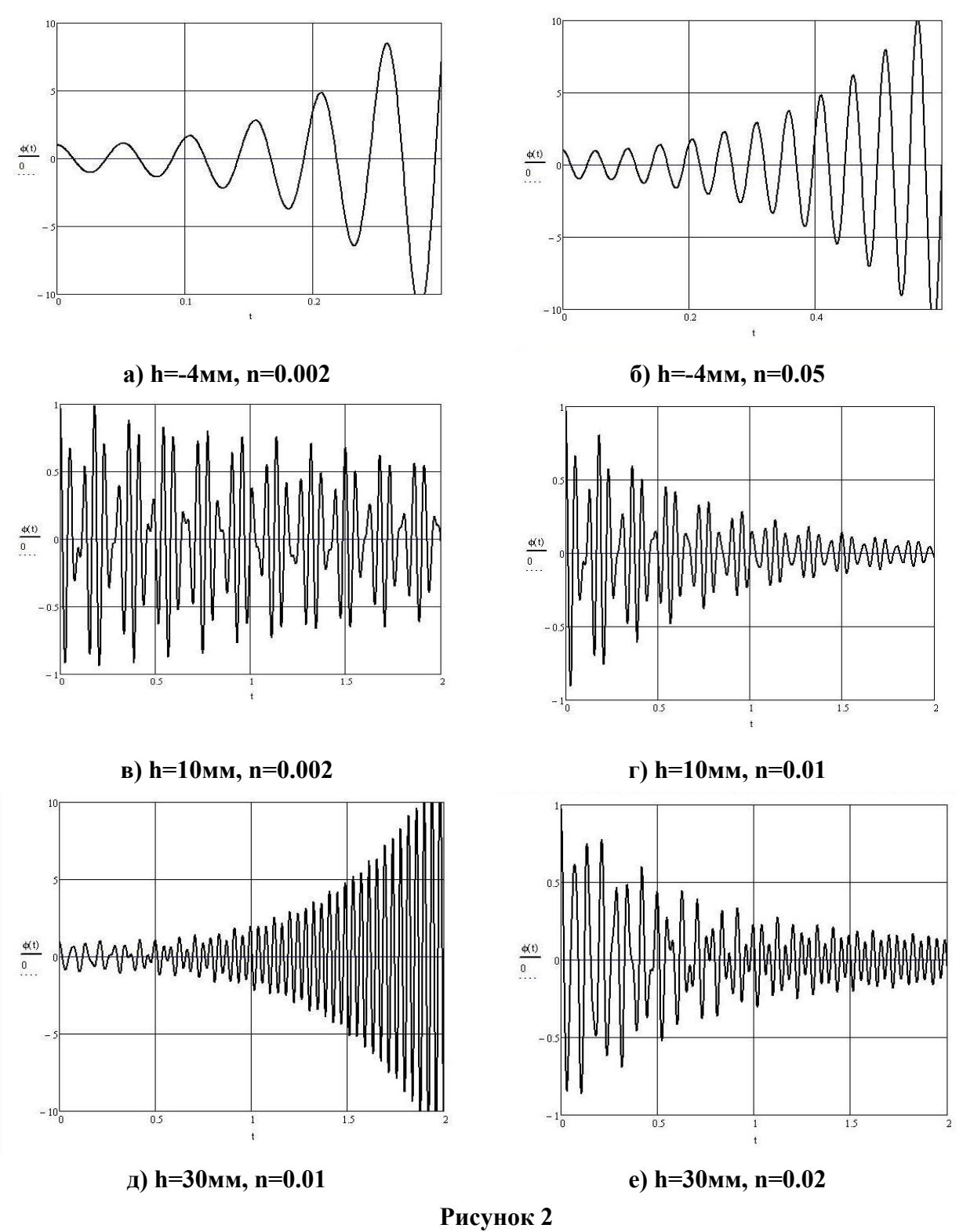
$$\omega_{0\delta} = \sqrt{\frac{4 \cdot c_{\delta}}{m}} \qquad \omega_{ok} = \sqrt{\frac{c_{k}}{\Theta_{k}}}$$

Варьируемые параметры: h , т.е. плечо стабилизации и безразмерные коэффициенты относительного демпфирования - $n_{omn}^{(1)}$ и $n_{omn}^{(2)}$ ($n_{omn}^{(1)} = n_{omn}^{(2)} = n$).

Численное решение полученных уравнений выполнялось в MathCAD методом Рунге-Кутта с использованием блока Given...Odesolve. Устойчивость движения оценивалась по форме кривой свободных колебаний.

Некоторые результаты показаны на рисунке 2 в виде графиков зависимостей обобщенных координат от времени и в таблице 1, в которой указан характер колебаний при различных сочетаниях параметров относительного демпфирования и плеча стабилизации.

В [2, 3] рассмотрена задача в динамическом гашении вынужденных колебаний автомобиля, возбуждаемых моментным дисбалансом колес, а также разнотолщинностью тормозных дисков на режимах торможения. Однако оставалось неясным, как повлияет установка гасителя на стабилизацию управляемых колес. Данная задача также решена в рамках представленной динамической модели, модифицированной с учетом характеристик динамического гасителя. Полученные для этого случая результаты показали, что установка гасителя не оказывает отрицательного влияния на устойчивость процесса.



Влияние h, т.е. плеча стабилизации, весьма своеобразно. При малых h (< 0.4 мм) и тем более отрицательных значениях этой величины возникают автоколебания, т.е. процесс неустойчив. С увеличением h, до значений 10...20 мм, колебания становятся затухающими, но при чрезмерном увеличении h (>30мм) процесс вновь оказывается неустойчивым, т.е. колебания принимают характер типа «шимми». Это означает, в частности, что имеется некоторое оптимальное для данного уровня демпфирования значение плеча стабилизации, при котором время стабилизации будет минимальным. Например, при h =0.01 оптимальное значение h составляет: h =(8..10)мм.

Таблица 1

Влияние демпфирования и плеча стабилизации на устойчивость угловых колебаний управляемых колес

h,MM n	-4	4	6	8	10	12	20	30	50
0.002	+	-	-	-	-	-	-	+	+
0.004	+	-	-	-	-	-	-	+	+
0.006	+	-	-	-	-	-	-	+	+
0.01	+	-	-	-	-	-	-	+	+
0.02	+	-	-	-	-	-	-	-	+
0.05	+	-	-	-	-	-	-	-	-

- (+) автоколебательные режимы;
- (-) свободные затухающие колебания.

Полученные результаты вполне согласуются с известными опытными данными, что подтверждает корректность рассмотренной математической модели.

Итак, мы приходим к выводам:

Время стабилизации управляемых колес уменьшается с увеличением демпфирования в шинах и рулевом управлении и с увеличением до некоторого оптимального при имеющемся уровне демпфирования плеча стабилизации. Данный вывод вполне согласуется с опытом проектирования и эксплуатации автомобилей, чем подтверждается корректность рассмотренной математической модели.

Установка динамического гасителя вынужденных колебаний управляемых колес не оказывает отрицательного влияния на время стабилизации управляемых колес.

Литература

- 1. Ляпунов А.М. Общая задача об устойчивости движения. Гостехиздат, М.: 1950.
- 2. Колебания управляемых колес. (А.И. Глейзер, С.Р. Емельянов)- ELPIT 2007, СБОРНИК ТРУДОВ Первого международного экологического конгресса (Третьей международной научно-технической конференции) «Экология и безопасность жизнедеятельности промышленно-транспортных комплексов». ELPIT 2007, 20-23 September, 2007 TOGLIATTI CITY, RUSSIA, Россия, Самарская область, г. Тольятти 20-23 сентября 2007г., Том 2.
- 3. Вибрация автомобиля при торможении. (А.И. Глейзер, С.Р. Емельянов, А.П. Мысин)-ELPIT 2007, СБОРНИК ТРУДОВ Первого международного экологического конгресса (Третьей международной научно-технической конференции) «Экология и безопасность жизнедеятельности промышленно-транспортных комплексов» ELPIT 2007, 20-23 September, 2007 TOGLIATTI CITY, RUSSIA, Россия, Самарская область, г. Тольятти 20-23 сентября 2007г., Том 2.

Интеллектуальные датчики угла с использованием гальваномагнитных эффектов

Горкин В.П., к.т.н. доц. Зубков А.С., Тяпкин П.Ю. $3AO\ M3AT$ 3-2, $M\Gamma TY\ «МАМИ»$

Аннотация. В статье идет речь о требованиях к магнитной системе гальваномагнитных датчиков, рассмотрены основные параметры, характеристики и принципы работы новейших энкодеров, выпускаемых известными в этой области фирмами. Приводятся сравнения магниторезистивных датчиков с датчиками на